У С Л О В Н Ы Е О Б О З Н А Ч Е Н И Я

ОБЩАЯ ГЕОХРОНОЛОГИЧЕСКАЯ ШКАЛА					РЕГИОНАЛЬНЫЕ СТРАТИГРАФИЧЕСКИЕ ПОДРАЗДЕЛЕНИЯ
Эон	Эра	Период	Эпоха	Век	Горизонт
ФАНЕРОЗОЙСКИЙ	МЕЗОЗОЙСКАЯ	ЮРСКИЙ	ПОЗДНЯЯ	ТИТОНСКИЙ	Баженовский
				КИМЕРИДЖСКИЙ	Георгиевский
				ОКСФОРДСКИЙ	Васюганский
			СРЕДНЯЯ	КЕЛЛОВЕЙСКИЙ	
				БАТСКИЙ	Малышевский
				БАЙОССКИЙ	Леонтьевский
				ААЛЕНСКИЙ	Вымский, Лайдинский
			РАННЯЯ	ТОАРСКИЙ	Надояхский, Китербютский
				ПЛИНСБАХСКИЙ	Шараповский, Левинский
				СИНЕМЮРСКИЙ, ГЕТТАНГСКИЙ	Зимний

СХЕМА СТРУКТУРНО-ФАЦИАЛЬНОГО РАЙОНИРОВАНИЯ ЮРЫ–МИОЦЕНА

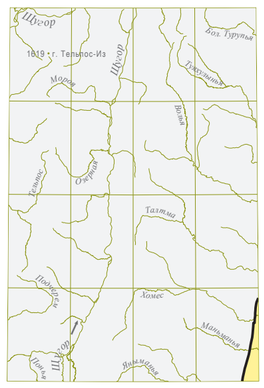

1 : 1 000 000

УСЛОВНЫЕ ОБОЗНАЧЕНИЯ

Западно-Сибирская структурно-фациальная мегаобласть

Приуральская структурно-фациальная зона

Северо-Приуральская подзона

Западно-Уральская структурно-фациальная мегазона

Юрско-неогеновые образования на территории листа отсутствуют

Границы мегазон

ЗАПАДНО-СИБИРСКАЯ СТРУКТУРНО-ФАЦИАЛЬНАЯ МЕГАОБЛАСТЬ
ПРИУРАЛЬСКАЯ СТРУКТУРНО-ФАЦИАЛЬНАЯ ЗОНА
СЕВЕРО-ПРИУРАЛЬСКАЯ ПОДЗОНА

- J_3lp — Лопсинская свита. Алевролиты слюдистые с глауконитом, гидрослюдистые аргиллиты и гидрослюдисто-бейделлитовые глины, в основании – аргиллиты каолин-гидрослюдистые, углистые и песчанистые, содержащие известковистые образования и марказитовые стяжения (до 100 м)
- $J_{2-3}mr$ — Маурыньинская свита. Алевролиты темно-серые с глауконитом, сидеритовыми конкрециями, в основании – аргиллиты и алевролиты слюдистые темно-серые с шоколадным оттенком, глины тонкоплитчатые, отмечаются горизонты мелкозернистых песчаников (20–40 м)
- J_2tl — Тольинская свита. Песчаники серые, кварц-лептохлоритовые, аркозовые с прослоями аргиллитов и алевролитов, пластами бурого угля, с редкими горизонтами конгломератов (40–80 м)
- $J_{1-2}jm$ — Яны-маньинская свита. Глины аргиллитоподобные, алевролиты углистые, пласты бурых углей, в основании – кварцевые гравелиты и конгломераты (70–110 м)

З А П А Д Н О - У Р А Л Ь С К А Я С Т Р У К Т У Р Н О - Ф О Р М А Ц И О Н Н А Я М Е Г А З О Н А

БЕЛЬСКО-ЕЛЕЦКАЯ СТРУКТУРНО-ФОРМАЦИОННАЯ ЗОНА
МИХАЙЛОВСКО-ВАЙГАЧСКАЯ ПОДЗОНА

ПАТОКСКО-УНЬИНСКИЙ РАЙОН

ПАЛЕОЗОЙСКАЯ	ПЕРМСКИЙ	ТАТАРСКАЯ		
		БИАРМИЙСКАЯ		
		ПРИУРАЛЬСКАЯ	УФИМСКИЙ	
			КУНГУРСКИЙ	
			АРТИНСКИЙ	
			САКМАРСКИЙ	
			АССЕЛЬСКИЙ	
	КАМЕННОУГОЛЬНЫЙ	ПОЗДНЯЯ	ГЖЕЛЬСКИЙ	
			КАСИМОВСКИЙ	
		СРЕДНЯЯ	МОСКОВСКИЙ	
			БАШКИРСКИЙ	
		РАННЯЯ	СЕРПУХОВСКИЙ	
			ВИЗЕЙСКИЙ	
			ТУРНЕЙСКИЙ	
	ДЕВОНСКИЙ	ПОЗДНЯЯ	ФАМЕНСКИЙ	
			ФРАНСКИЙ	
		СРЕДНЯЯ	ЖИВЕТСКИЙ	
			ЭЙФЕЛЬСКИЙ	
		РАННЯЯ	ЭМССКИЙ	
			ПРАЖСКИЙ	
			ЛОХКОВСКИЙ	
	СИЛУРИЙСКИЙ	ПРЖИДОЛЬСКАЯ		
		ЛУДЛОВСКАЯ	ЛУДФОРДСКИЙ	
			ГОРСТИЙСКИЙ	
		ВЕНЛОКСКАЯ	ГОМЕРСКИЙ	Устьдурнаюсский
			ШЕЙНВУДСКИЙ	
		ЛЛАНДОВЕРИЙСКАЯ	ТЕЛИЧСКИЙ	Маршрутнинский
			АЭРОНСКИЙ	Филиппъельский
			РУДДАНСКИЙ	Лопашорский, Ярнейский
	ОРДОВИКСКИЙ	ПОЗДНЯЯ	ХИРНАНТСКИЙ	Кырьинский, Сурьинский
			КАТИЙСКИЙ	Полуденский, Рассохинский
			САНДБИЙСКИЙ	Тыпыльский, Чердынский
		СРЕДНЯЯ	ДАРРИВИЛЬСКИЙ	Тэлашорский
			ДАПИНСКИЙ	Индысейский
		РАННЯЯ	ФЛОСКИЙ	Куагачский
			ТРЕМАДОКСКИЙ	Колнабукский, Кидрясовский
	КЕМБРИЙСКИЙ	ПОЗДНЯЯ	БАТЫРБАЙСКИЙ	
			АКСАЙСКИЙ	
			САКСКИЙ	
			АЮСОККАНСКИЙ	
		СРЕДНЯЯ		
		РАННЯЯ	ТОЙОНСКИЙ	
			БОТОМСКИЙ	
			АТДАБАНСКИЙ	
			ТОММОТСКИЙ	
ПОЗДНЕПРОТЕРОЗОЙСКИЙ	ПОЗДНЕРИФЕЙСКАЯ	ВЕНДСКИЙ	ПОЗДНЯЯ	
			РАННЯЯ	
	СРЕДНЕРИФЕЙСКАЯ			

$\mu\gamma\delta C_3$-P_2n $\epsilon\gamma C_3$-P_2n ξC_3-P_2n $q\xi C_3$-P_2n $\mu\beta C_3$-P_2n $\chi\xi C_3$-P_2n — Поньинский комплекс монцогаббро-монцонитовый гипабиссальный. Монцогаббродиориты; умеренно-щелочные лейкограниты; дайки кварцевых сиенитов; сиенитов; граносиенитов; монцодолеритов. Рудогенерирующий для формаций редкоземельно-редкометалльной апогранитовой и щелочных метасоматитов, хрусталеносных кварцевых жил

S_2sd — Седъельская свита. Известняки доломитизированные массивные, доломиты брекчиевые (300–350 м)

O_3-S_1tb — Табаротинская серия. Доломиты и доломитизированные известняки темно-серые, часто битуминизированные брекчиевые (500–550 м)

$O_{2-3}\check{s}\check{c}$ — Щугорская серия. Известняки слоистые серые и темно-серые, в нижней части – белые и светло-серые мраморизованные, мраморы; прослои органогенно-детритовых, шламовых, песчанистых и алевритистых известняков, известковистых алевролитов (до 650 м)

O_2hd — Хыдейская свита. Сланцы филлитовидные, алевритовые и известковистые, песчаники кварцитовидные слюдистые, алевролиты, в верхней части с прослоями известковистых разностей и мраморизованных известняков (350–900 м)

O_1tl — Тельпосская свита. Конгломераты, гравелиты кварцевые и олигомиктовые, песчаники и кварцитопесчаники гравелитистые полимиктовые, в верхней части – песчаники кварцитовидные и кварциты лилово-серые с прослоями сланцев алевритовых серицит-кварцевых и филлитовидных, алевролитов (1100–1600 м). Вмещает проявления формации хрусталеносных кварцевых жил

$\beta\epsilon_3m$ $\nu\beta\epsilon_3m$ $\nu\beta\epsilon_3m$ $\beta\epsilon_3m$ — Малопатокский комплекс габбро-долеритовый гипабиссальный. Долериты; габбродолериты; дайки долеритов, габбродолеритов

$\omega\epsilon_3s$ — Сивьягинский комплекс пикритовый гипабиссальный. Малые внемасштабные тела пикритов, пикродолеритов, пироксенитов

ЗИЛАИРО-ЛЕМВИНСКАЯ СТРУКТУРНО-ФОРМАЦИОННАЯ ЗОНА
САЛАТИМСКАЯ ПОДЗОНА

$O_{2-3}pl$ — Польинская свита. Сланцы углеродисто-кремнистые, углеродисто-серицит-кварцевые, кварц-серицит-хлоритовые и кварц-серицитовые, углеродистые кварциты и алевролиты, прослои и линзы мраморизованных известняков (до 600 м)

$\nu\beta O_{2-3}ol$ $\nu\beta O_{2-3}ol$ $\beta O_{2-3}ol$ $\omega\beta O_{2-3}ol$ — Орангъюганско-лемвинский комплекс габбро-долеритовый гипабиссальный. Габбро-долериты; дайки долеритов; габбродолеритов; пикритов, пикродолеритов

$O_{1-2}hm$ — Хомасьинская свита. Сланцы кварц-серицит-хлоритовые, углеродисто-хлорит-серицит-кварцевые, кварц-альбит-хлоритовые, эпидот-актинолит-кварц-альбитовые, метавулканиты основного состава, внизу – кварцитопесчаники с прослоями углеродисто-кварцевых сланцев (1000–1500 м). Вмещает проявление асбеста амфибол-асбестовой формации

ϵ_3-O_1sr — Саранхапнёрская свита. Песчаники кварцитовидные, метапесчаники полимиктовые, гравелиты, сланцы филлитовидные серицит-кварцевые, реже альбит-хлорит-кварц-серицитовые, метаконгломераты полевошпат-кварцевого состава; в верхах разреза – прослои ортосланцев эпидот-хлоритовых, метатуффитов (до 2500 м)

ϵ_3-O_2sr-hm — Саранхапнёрская и хомасьинская свиты нерасчлененные. Песчаники полимиктовые, кварцитопесчаники, кварциты, гравелиты, сланцы хлорит-альбит-кварцевые, углеродисто-хлорит-серицит-кварцевые, углеродисто-кремнистые, ортосланцы по эффузивам основного–среднего состава, метаконгломераты (2500–3100 м)

ТАГИЛЬСКАЯ СТРУКТУРНО-ФОРМАЦИОННАЯ МЕГАЗОНА
ЗАПАДНО-ТАГИЛЬСКАЯ СТРУКТУРНО-ФОРМАЦИОННАЯ ЗОНА
КУМБИНСКАЯ ПОДЗОНА

mD_3-P_1vk — Войкарско-кемпирсайский комплекс тектонитов. Меланж полимиктовый с углеродисто-сланцевым матриксом, участками с серпентинитовым

Ауэрбаховский комплекс габбро-диорит-гранитовый плутонический

- $\gamma D_{1-2}a_3$ $\gamma\delta D_{1-2}a_3$ — Третья фаза. Граниты; гранодиориты
- δD_1a_2 — Вторая фаза. Диориты, кварцевые диориты

Петропавловский комплекс габбро-диорит-плагиогранитовый плутонический

- $p\gamma S_2p_3$ $\gamma\delta S_2p_3$ — Третья фаза. Плагиограниты, микропегматитовые плагиограниты; гранодиориты
- δS_2p_2 — Вторая фаза. Диориты, кварцевые диориты
- $\nu\beta S_2p_1$ — Первая фаза. Габбродолериты

- $\nu S_{1-2}tk$ $\nu S_{1-2}tk$ — Тагило-кытлымский комплекс габбро-норитовый плутонический. Роговообманковые габбро; дайки габбро

O_3-$S_1\check{s}m$? — Шемурская свита. Базальты, аповулканогенные сланцы основного состава, реже андезибазальты, риодациты (1000–2000 м). Рудоносная для медноколчеданной формации

νO_3k_2 — Качканарский комплекс дунит-клинопироксенит-габбровый плутонический. Вторая фаза. Габбро амфиболизированные. Генетически связано оруденение титан-железорудной мафитовой и медно-титан-ванадиевой формаций

$\nu'O_{2-3}mr$ — Мариинский комплекс метагаббро-метадолеритовый гипабиссальный. Метагаббро, апогаббровые амфиболиты

ΣO_2sl ΣO_2sl — Салатимский комплекс дунит-гарцбургитовый плутонический. Ультрамафиты нерасчлененные (серпентинизированные дуниты, гарцбургиты); внемасштабные тела ультрамафитов

ЦЕНТРАЛЬНО-УРАЛЬСКАЯ СТРУКТУРНО-ФОРМАЦИОННАЯ МЕГАЗОНА
ЛЯПИНСКАЯ СТРУКТУРНО-ФОРМАЦИОННАЯ ЗОНА
ХОБЕИЗСКО-МАНЬХАМБОВСКАЯ ПОДЗОНА

Лаптопайский комплекс трахириолит-базальтовый вулканический

V_2-ϵlp — Лаптопайская свита. Конгломераты полимиктовые, гравелиты, песчаники, базальты, андезиты, риолиты и их туфы, кластолавы риолитов, туфобрекчии риолитового и смешанного состава, прослои туффитов, туфоалевролитов, туфогенных сланцев, туфопесчаников; в верхней части разреза – потоки трахибазальтов (600–1000 м). Вмещает оруденение редкоземельно-редкометалльной апогранитовой и щелочных метасоматитов формаций

Лаптопайские субвулканические образования

- βV_2-ϵlp $\nu\beta V_2$-ϵlp $\tau\beta V_2$-ϵlp $\tau\beta V_2$-ϵlp_2 βV_2-ϵlp_2 $\tau\alpha\beta V_2$-ϵlp_2 — Вторая фаза. Долериты; габбродолериты; трахибазальты и трахидолериты; дайки долеритов; трахибазальтов; трахиандезибазальтов
- λV_2-ϵlp_1 $\tau\lambda V_2$-ϵlp_1 λV_2-ϵlp_1 $\tau\lambda V_2$-ϵlp_1 $\tau\lambda\zeta V_2$-ϵlp_1 — Первая фаза. Риолиты; трахириолиты; дайки риолитов; трахириолитов; трахириодацитов

Рудогенерирующие для редкоземельно-редкометалльной апогранитовой и щелочных метасоматитов формаций

γV-ϵs_2 $\gamma\delta V$-ϵs_2 γV-ϵs_2 $\gamma\delta V$-ϵs_2 — Сальнеро-маньхамбовский комплекс гранит-лейкогранитовый плутонический. Вторая фаза. Граниты; гранодиориты; дайки гранитов; гранодиориты. Генетически связано оруденение урановой березитовой и эйситовой формаций

Саблегорский комплекс базальт-риолитовый вулканический

Саблегорская свита

RF_3-V_1sb_2 — Верхняя подсвита. Риолиты порфировые и редкопорфировые, их кластолавы, кристаллокластические туфы с подчиненными пачками и прослоями эпидот-хлорит-кварц-серицитовых, плагиоклаз-серицит-кварцевых и биотит-кварц-альбит-хлоритовых сланцев (500–1000 м)

RF_3sb_1 — Нижняя подсвита. Базальты, андезибазальты, их туфы, туффиты, туфоалевролиты, туфопесчаники; в нижней части разреза – маломощные прослои углеродистых сланцев, филлитовидных парасланцев, линзы конгломератов и туфоконгломератов (до 1000 м)

Вмещает оруденение редкоземельно-редкометалльной апогранитовой и щелочных метасоматитов, медно-кварц-сульфидной, хрусталеносных кварцевых жил формаций

Саблегорские субвулканические образования

- λRF_3-V_1sb_2 λRF_3-V_1sb_2 — Вторая фаза. Риолиты; дайки риолитов
- βRF_3sb_1 $\nu\beta RF_3sb_1$ $\nu\beta RF_3sb_1$ βRF_3sb_1 — Первая фаза. Долериты; габбродолериты; дайки долеритов, габбродолеритов

Рудогенерирующие для урановой березитовой и эйситовой, редкоземельно-редкометалльной апогранитовой и щелочных метасоматитов, медно-кварц-сульфидной формаций

μV_1ms ξV_1ms — Манарагско-сивъягинский комплекс габбро-монцонит-диоритовый гипабиссальный. Монцониты, монцодиориты; дайки сиенитов

Мороинский комплекс вулканогенно-осадочный

RF_3mr — Мороинская свита. Сланцы филлитовидные, алевритовые и аповулканогенные серицит-хлорит-альбит-кварцевые; в нижней части зеленовато-серые с линзами слюдистых мраморизованных и доломитизированных известняков, в верхней – темно-серые; отмечаются маломощные прослои кварцитов и кварцитопесчаников, углеродисто-кремнистых сланцев, пласты эффузивов основного состава и их туфов (1500–2000 м). Вмещает проявление амфибол-асбестовой формации

$\nu\beta RF_3mr$ βRF_3mr — Мороинские субвулканические образования. Габбродолериты; дайки долеритов

Сысьинский комплекс габбро-диорит-гранитовый плутонический

- $\gamma RF_3?ss_3$ $\gamma\delta RF_3?ss_3$ $\gamma\delta gRF_3?ss_3$ $\gamma\delta RF_3?ss_3$ $^{s}\chi RF_3?ss_3$ — Третья фаза. Граниты, роговообманковые граниты; гранодиориты; гранодиориты-гнейсы; дайки гранодиоритов; спессартитов
- $\delta RF_3?ss_2$ $q\delta gRF_3?ss_2$ $\delta RF_3?ss_2$ — Вторая фаза. Диориты; кварцевые диориты-гнейсы; дайки диоритов
- $\nu RF_3?ss_1$ $\nu RF_3?ss_1$ $\nu\beta RF_3?ss_1$ — Первая фаза. Габбро; дайки габбро; габбродолеритов

RF_3hb — Хобеинская свита. Кварциты, кварцитопесчаники кварцевые, мусковитовые, реже аркозовые, участками известковистые, мраморизованные известняки, сланцы полосчатые серицит-хлорит-кварцевые; в подошве – прослои и линзы конгломератов и гравелитов (500–1000 м)

RF_2pv — Пуйвинская свита. Сланцы черные углеродисто-кремнистые зеленовато-серые, буроватые, темно-серые микроплойчатые кварц-хлорит-слюдистые до филлитовидных, иногда песчанистые и гранатсодержащие, с линзами слюдистых мраморов и прослоями аповулканогенных сланцев, кварцитов; в основании – пачка полевошпатовых кварцитов с прослоями гравелитов и конгломератов (600–1100 м)

Зона контактовых роговиков

Метасоматиты

Полнопроявленные

- br — Березиты (с ними связано оруденение урановой березитовой и эйситовой, медно-кварц-сульфидной формаций)
- br — Маломощные тела березитов (с ними связано оруденение медно-кварц-сульфидной формации); фельдшпатитов, эйситов нерасчлененных (**fp.a.e**); фельдшпатитов двуполевошпатовых (**fp**) (с ними связано оруденение редкоземельно-редкометалльной апогранитовой и щелочных метасоматитов формаций)

Неполнопроявленные

- br — Березитизированные (с ними связано оруденение редкоземельно-редкометалльной апогранитовой и щелочных метасоматитов, медно-кварц-сульфидной формаций), пропилитизированные (**p'**) породы (с ними связано оруденение урановой березитовой и эйситовой, медно-кварц-сульфидной формаций)

q — Гидротермальные жилы внемасштабные

Геологические границы
(а – достоверные, б – предполагаемые)

- а, б — Согласного залегания и интрузивные контакты
- а, б — Несогласного залегания
- Литофациальные с постепенным переходом

Разрывные нарушения
(а – достоверные, б – предполагаемые)

Рудоконтролирующие разломы на карте показаны красным цветом

Главные

- а — Надвиги

Второстепенные

- а, б — Разломы без разделения по морфологии
- а, б — Надвиги
- а — Сдвиги левые

СХЕМА СТРУКТУРНО-ФОРМАЦИОННОГО РАЙОНИРОВАНИЯ ПОЗДНЕГО КЕМБРИЯ–ПЕРМИ

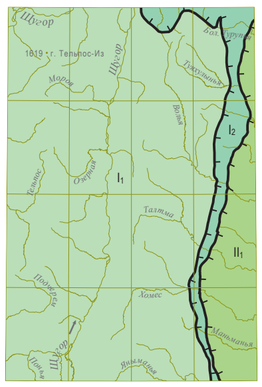

1 : 1 000 000

УСЛОВНЫЕ ОБОЗНАЧЕНИЯ

Западно-Уральская структурно-формационная мегазона

Бельско-Елецкая структурно-формационная зона (I_1)

Михайловско-Вайгачская подзона. Патокско-Уньинский район

Зилаиро-Лемвинская структурно-формационная зона (I_2)

Салатимская подзона

Тагильская структурно-формационная мегазона

Западно-Тагильская структурно-формационная зона (II_1)

Кумбинская подзона

Надвиг главный

СХЕМА СТРУКТУРНО-ФОРМАЦИОННОГО РАЙОНИРОВАНИЯ ПОЗДНЕГО ПРОТЕРОЗОЯ–СРЕДНЕГО КЕМБРИЯ

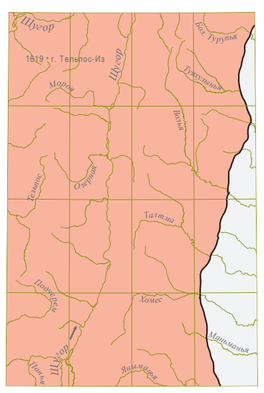

1 : 1 000 000

УСЛОВНЫЕ ОБОЗНАЧЕНИЯ

Центрально-Уральская структурно-формационная мегазона

Ляпинская структурно-формационная зона

Хобеизско-Маньхамбовская подзона

Участок земной коры, где допозднекембрийские образования (в нетектонических взаимоотношениях с более молодыми подразделениями) предположительно отсутствуют

Границы зон